

數值解析에 의한 地中連續壁의 行動에 관한 研究

A Study on the Behavior of Diaphragm Walls by Numerical Method

李 澤 淳* · 鄭 亨 植**
Lee, Hyung Soo · Chung, Hyung Sik

Abstract

This paper deals with the influences on the wall movements and earth pressure distribution for struttied diaphragm wall of various design depth ratio and pre-displacement at struttied point. The numerical method is adopted for the study. The conclusions derived from the study were summarized as follows:

1. The elasto-plastic depth ratio in the passive region is found to decrease as such parameters as wall stiffness, soil density and penetration depth ratio decrease.
2. Values of maximum bending moments of the walls decrease with the increase of soil density, and the influence to the wall stiffness increases in proportion to the penetration depth.
3. Maximum strut reaction is found to be inversely proportional to the soil density.
4. Pre-displacement at the point of strut installation must be brought into consideration on account of its active influence to the deflection of wall bodies.

要 旨

本論文은 堀착깊이에 따르는 地中連續壁의 土地變動에 關하여 壁體의 剛性, 密度, 根入깊이比 壁體移動에 起因되는 strut 設置地點의 先行變位等의 要素들을 考慮한 彈塑性 model을 提示하고 몇가지境遇에 對하여 數值解析한 結果를 要約하면 다음과 같다.

1. 變動領域에서의 彈塑性限界比는 壁體의剛性, 모래의密度 및 根入깊이比가 增加됨에 따라 減少되는 現象을 나타낸다.
2. 壁體의 最大 휨-모멘트값은 모래의 密度가 클수록 減少하고 壁體剛性의 影響은 根入깊이比에 比例 하여 커진다.
3. 最大 strut 反力은 모래의 密度에 反比例한다.
4. strut 設置地點의 地中先行變位는 deflection에 큰 影響을 줌으로 반드시 考慮되어야 된다.

* 정회원 · 中央大學校 工科大學 教授
** 정회원 · 漢陽大學校 工科大學 教授

1. 서 론

산업이 發展함에 따라 建設工事는 大形化 되어가 는 趨勢에 있으며 더욱이 大都市地域에서와 같이 限定된 基地를 最大限 効率의 으로 利用할 必要性을 느껴서 흙막이 工法에 관한 많은 研究가 이루어지게 되었다. 흙막이工法이란 地下에 構造物을 設置 할 때 地盤을 壕착하면 地下水位가 低下하면서 隣近構造物에 큰 影響을 미치기 때문에^(1, 2) 굴착이 진행되는 동안 地下水位의 低下를 막을 수 있고 建設된 흙막이壁 自體도 背面土壓을 充分히 지탱할 정도의 劍性을 갖는 새로운 工法이다.

本 研究에서는 Slurry wall 工法에 依해서 建設된 DIAPHRAGM Wall의 舉動에 대해서 간단한 모델을 利用하여 研究해보고 Sheet pile과 比較 檢討하고자 한다. 지금까지의 地下壁體 構造物에 대한 研究는 實驗的 方法^(5, 6, 12, 13, 15)이나 有限要素法에 依해서 이루어져 왔다. Hanna⁽⁵⁾는 小規模의 모델 實驗을 통하여 모래 地盤의 地下壁體 構造物에 對하여 研究하였고, Verdeyen과 Gillet⁽⁶⁾는 壁面의 거칠기 정도가 壁體舉動에 미치는 影響에 대하여 研究하였다. 또한 Clough와 Tsui⁽⁷⁾는 有限要素法을 利用하여 粘土 地盤에 건설된 Braced wall과 Tied back wall의 舉動의 差異를 評했고, 또한 여러가지 Parameter들의 壁體舉動에 대한 影響을 조사하였다. Eager⁽¹⁴⁾는 有限要素法을 利用하여 모래 地盤에 건설된 DIAPHRAGM Wall의 土壓分布에 대한 壁體의 劍性과 Anchor prestress의 影響을 研究하였다. 그러나 土留壁의 解析에 一般的으로 使用되고 있는 有限要素法은 周邊地盤沈下를豫測할수 있다는 長點도 있으나 DIAPHRAGM Wall과 같은 單純한 構造物에 對해서는 弹性堡의 應力과 變位에 關한 微分方程式의 解를 使用^(9, 10)하는 것이 훨씬 더 간편하고 Computer 解析時間도 짧다. 土留壁의 構造解析에 微分方程式의 解를 直接利用하는 경우에 있어서는 土壓에 對한 假定條件이 매우 重要視되고 있다. 一般的으로 利用되어온 Sheet Pile에서는 단순히 塑性平衡狀態에서의 土壓만 고려했었다. 그러나 James와 Jack⁽¹¹⁾은 “DIAPHRAGM Wall의 設計를 위한 研究”에서 壁體의 受動領域에 弹性概念을 導入한 간단한 土壓分布모델을 提示하였다. 또한 Yamagata와

Yoshida, Akino⁽⁹⁾는 土壓의 假定에 弹塑性理論을導入하여 Sheet pile의 舉動에 대한 研究을 하였으며 Nakamura, Nakajawa는 Yamagata의 理論을發展시켰다.

本 研究에서는 Nakamura, Nakajawa의 理論을 數值解析化하여 N值가 다른 모래 地盤에 있어서의 Strutted DIAPHRAGM Wall을 構造解析하고 같은 條件에서 Sheet pile을 解析해봄으로써 모래의 劍性과 壁體의 劍性이 土壓分布와 壁體舉動에 미치는 影響에 대하여 考慮해 보았고 Strut 支點의 地中先行變位가 DIAPHRAGM Wall의 舉動에 미치는 影響에 대해서도 研究하였다.

2. 理論的 背景

本 研究에서는 土壓解析에 弹塑性理論을 利用하기 위하여 다음과 같은 가정을 하였다.

- 土留壁의 根入은 有限長으로 하고 根入先端은 地質狀態에 따라 固定 한지 自由端중의 하나로 한다.

- 背面土壓 및 壕착側의 有效受動土壓은 壕착에 依한 土質條件에 대처할수 있도록 壕착段階別로 고려했다.

- 壕착面以下에서 土留壁에 作用하는 抵抗土壓은 土留壁의 變位에 一次的으로 比例하고 有效受動土壓을 넘지 않는 것으로 한다.

- Strut 設置後의 Strut 設置支點은 Strut의 간격, 길이, 材料의 Young을에 따라 얻어지는 弹性支點으로하고 Strut 設置 以前에 이미 發生된 地中先行變位를 고려한다.

2.1 構造系吳 弹塑性모델

彈塑性 平衡狀態에서의 土壓은 塑性平衡狀態에서의 土壓의 受動領域을 塑性領域과 弹性領域으로 나누어 弹性領域은 스프링으로 가정한 간단한 모델로 나타내었다. 그림 1은 DIAPHRAGM Wall에 作用하는 土壓分布와 Strut 設置狀態 및 地中先行變位等의 數值解析을 위한 構造系이며 그림 2는 構造系를 數值解析에 利用할 간단한 모델이다. 가정된 構造系에 作用하는 土壓은 그림에서 보는 바와 같이 背面側에는 有效主動土壓이 受動領域에서는 塑性領域에 有效受動土壓이, 弹性領域에는 土體의 스프링 反力이 作用하는 것으로 하며 Strut를 弹性支點으로 한 하나의 堡로 假定하였다.

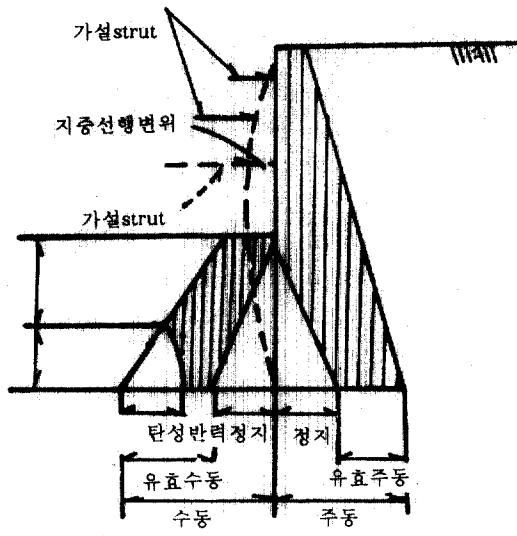


그림 1. Structural system

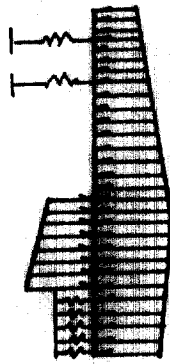


그림 2. Elasto-Plastic model

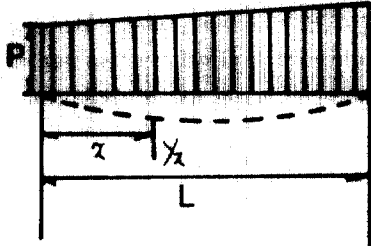


그림 3. Beam model of load and displacement

2.2 堀面以上部 및 塑性領域의 微分方程式 및 遷移行列

그림 3은 壁體를 여러개의 要素로 나누었을 경우 堀面以上 및 以下의 塑性領域의 要素에 대한 荷重 및

變位이고, 式(1)은 弹性堡에 對한 微分方程式이다.

$$EI \frac{d^4 y_x}{dx^4} - (p + qx) = 0 \quad (1)$$

여기서, E: 土留壁 材料의 弹性係數

I: 土留壁 断面2次 모멘트

y_x : x點에 있어서의 土留壁의 變位

x: 部材端서 任意의 點까지의 거리

P: x=0에 對한 荷重強度

q: 荷重의 增加率

이 微分方程式을 積分하여 $x = l$ 에 있어서의 變位 및 断面力を 다음과 같이 Matrix 狀態로 表현할 수 있다.

$$\begin{bmatrix} y_1 \\ \theta_1 \\ M_1 \\ S_1 \end{bmatrix} = \begin{bmatrix} 1, 1, -l^2/2EI - l^2/2EI \\ 0, 1, -l/EI, -1/2EI \\ 0, 0, 1, 1 \\ 0, 0, 0, 1 \end{bmatrix} \begin{bmatrix} y_0 \\ \theta_0 \\ M_0 \\ S_0 \end{bmatrix} + \begin{bmatrix} pl^4/2 + ql^5/2EI \\ pl^3/2 + ql^4/2EI \\ -pl^2/2 - ql^3/2 \\ -pl - ql^2/2 \end{bmatrix} \quad (2)$$

式(2)를 간단히 표시하면 다음 式(3)과 같다.

$$V_{x=1} = DV_{x=0} + K \quad (3)$$

여기서 D와 K를 堀面上部 및 塑性領域에 對한 遷移行列이다.

2.3 塑性領域의 微分方程式 및 遷移行列

그림 4는 壁體를 여러개의 要素로 나누었을 경우 塑性領域의 堡要素에 對한 모델이며, 塑盛地盤上の 塑性堡의 微分方程式이 式(4)이다.

$$EI d^4 y_x / dx^4 + K_h \cdot y_x - (p + qx) = 0 \quad (4)$$

여기서 K_h 는 흙의 水平地盤反力係數 즉 흙의 스프링 常數이다.

式(4)를 積分하여 $x=0$ 와 $x=l$ 에서의 Matrix 形態로 表現하면 다음과 같다.

$$\begin{bmatrix} y_0 \\ \theta_0 \\ M_0 \\ S_0 \end{bmatrix} = \begin{bmatrix} 1, 0, 1, 0 \\ \beta, \beta, -\beta, \beta \\ 0, -2EI\beta^2, 0, 2EI\beta^2 \\ 2EI\beta, -2EI\beta, -2EI\beta, -2EI\beta \end{bmatrix} \begin{bmatrix} C_1 \\ C_2 \\ C_3 \\ C_4 \end{bmatrix} + \begin{bmatrix} p/k_h \\ q/k_h \\ 0 \\ 0 \end{bmatrix} \quad (5)$$

$$\begin{bmatrix} y_1 \\ \theta_1 \\ M_1 \\ S_1 \end{bmatrix} = \begin{bmatrix} e^{\beta l} \cos \beta l, e^{\beta l} \sin \beta l, e^{-\beta l} \cos \beta l, e^{-\beta l} \sin \beta l \\ \beta e^{\beta l} (\cos \beta l - \sin \beta l), \beta e^{\beta l} (\cos \beta l + \sin \beta l), \\ \beta e^{-\beta l} (-\cos \beta l - \sin \beta l), \beta e^{-\beta l} (-\cos \beta l + \sin \beta l) \\ 2EI\beta^2 e^{\beta l} \sin \beta l, -2EI\beta^2 e^{\beta l} \cos \beta l, \\ -2EI\beta^2 e^{-\beta l} \cos \beta l, 2EI\beta^2 e^{-\beta l} \cos \beta l \\ 2EI\beta^2 e^{\beta l} (\cos \beta l + \sin \beta l), 2EI\beta^2 e^{\beta l} (-\cos \beta l + \sin \beta l), \\ 2EI\beta^2 e^{-\beta l} (-\cos \beta l + \sin \beta l), 2EI\beta^2 e^{-\beta l} (-\cos \beta l - \sin \beta l) \end{bmatrix}$$

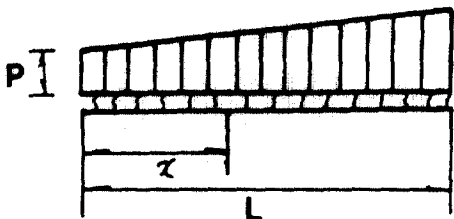


그림 4. Beam model in elastic state

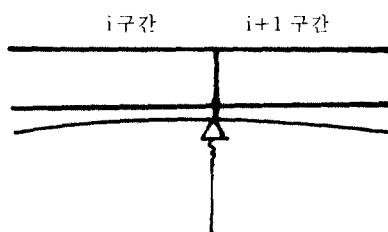


그림 5 Strutted point

$$\begin{pmatrix} C_1 \\ C_2 \\ C_3 \\ C_4 \end{pmatrix} + \begin{pmatrix} p + ql/k_h \\ q/k_h \\ 0 \\ 0 \end{pmatrix} \quad (6)$$

여기서 C_1, C_2, C_3, C_4 는 部材兩端의 狀態에 따라 決定되는 積分常數이고 $\beta = \sqrt{k_h/4EI}$ 이다. 式(5), (6)을 각각 간단히 表示하면 다음과 같다.

$$V_{x=0} = D_o A + K_o \quad (7)$$

$$V_{x=1} = D_l A + K_l \quad (8)$$

여기서 式(7)을 A에 대하여 정리하고 式(8)에 대입하여 整理하면 式(9)을 얻을 수 있다.

$$V_{x=1} = D_l D_o^{-1} V_{x=0} + K_l - D_l D_o^{-1} K_o \quad (9)$$

또한 $D_l D_o^{-1} = D$ 라 하고 $K = K_l - D D_o^{-1} K_o$ 라 하면 式(9)은 다음과 같이 된다.

$$V_{x=1} = DV_{x=0} + K \quad (10)$$

여기에서 D와 K는 彈性領域에서의 遷移行列이다.

24 Strut設置支點과 地層變化點의 遷移行列

그림 5에 보인 바와 같은 Strut 設置支點에서의 遷移行列을 誘導하기 위하여 Strut의 스프링 常數를 H라하고 Strut設置支點의 變位와 地中先行變位를 각각 y^i 와 Y^i 라고 할 때 Strut 反力 P는 다음과 같다.

$$P^i = H^i(y^i - Y^i) \quad (11)$$

한편 $i+1$ 區間의 $x=0$ 點에서의 剪斷力은 區間의

剪斷力과 反力의 合力과 같으므로

$$S^{i+1} = S^i + H^i(y^i + Y^i) \quad (12)$$

이다. Strut 設置支點의 剪斷力を 除外한 나머지 처짐, 처짐각, 모멘트는 i要素의 끝점과 $i+1$ 要素의始作點이 같은 값을 가지므로 Strut 設置支點에서의 應力 및 變位의 變化를 Matrix 形態로 表示하면 다음 式과 같다.

$$\begin{pmatrix} y_o \\ \theta_o \\ M_o \\ S_o \end{pmatrix} = \begin{pmatrix} 1 & 0 & 0 & 0 \\ 0 & 1 & 0 & 0 \\ 0 & 0 & 1 & 0 \\ H^i & 0 & 0 & 1 \end{pmatrix} \begin{pmatrix} y_i \\ \theta_i \\ M_i \\ S_i \end{pmatrix} + \begin{pmatrix} 0 \\ 0 \\ 0 \\ -HY^i \end{pmatrix} \quad (13)$$

윗 式을 간단히 表示하면

$$V_{x=0}^{i+1} = F V_{x=1}^i + G^i \quad (14)$$

式(14)은 strut 設置支點이 아닌 地層變化點에 對해서 使用되어 질수 있으며, 地層變化點에서는 實際 strut가 설치되지 않았으므로 H^i 가 0이 되어 F Matrix가 單位 Matrix가 되고 G Matrix는 0 Matrix가 된다.

여기서 F 및 G는 strut 設置支點 및 地層變化點에서의 遷移行列이다.

25 應力 및 變位의 決定

式(3)(10)(14)로부터 土留壁의 最上端의 應力 및 變位를 最上端의 變位 및 應力과 연결하여 遷移行列로 표시하면 다음과 같다.

$$V_{x=1}^n = LV_{x=0}^i + M \quad (15)$$

윗식에 壁體의 上端과 下端의 支持狀態에 따른 境界條件를 代入하면 上下端의 變位 및 應力이 決定된다.

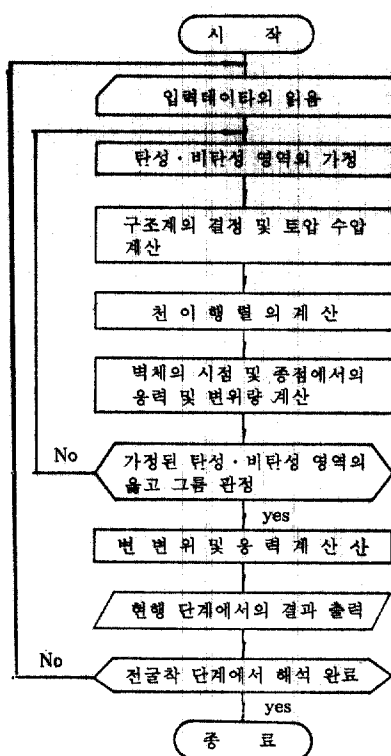
26 흐름도 및 Input Data

本 研究에서는 Diaphragm wall과 Sheet pile을 3가지 土質條件(Loose sand, Medium sand, Dense sand)에서 數值解析하였으며 解析에 使用된 흐름도와 Input Data은 다음과 같다.

3. 數值解析 및 結果分析

解算結果는 土留壁體의 剛性, 모래의 密度, 根入길이, 그리고 strut支點의 地中先行變位가 土留壁의 機動에 미치는 영향을 나타내며 표(1), (2)는 數值解算結果이다.

• 흐름도



• wall property

종류	E (T/M ²)	I (M ⁴)	벽체 두께(M)	EI (E · M ²)
SURRY WALL	2300000	0.018	0.6	41400
SHEET PILE	21000000	10^{-4}	0.106	2100

위에서

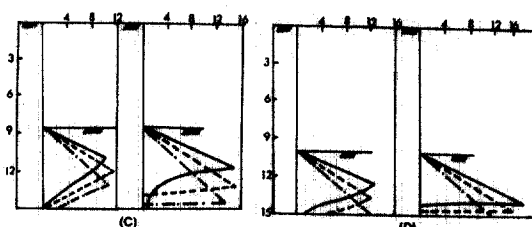
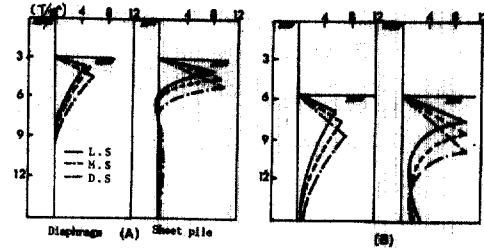
E: 탄성계수

A: 단면적

I: 단면 2차 Moment

ℓ: 길이

3.1 土壓分布



(a) 1step (b) 2step
(c) 3step (d) 4step

그림 6. Earth pressure distribution of diaphragm wall(sheet pile)

그림 6은 Diaphragm wall과 sheet pile의 여러 土質條件에서의 土壓分布圖이며 土壓分布에는 靜止土壓은 고려하지 않았고 수압도 主動側과 受動側의 差異만 고려했다. 그리고 그림 7은 흙이 서로 다른 密度일때의 壁體剛性의 變化에 따른 弹塑性 限界깊이의 變化를 plot한 것이다.

• Strut property

E (T/M ²)	A (M ²)	I (M)	스프링계수 (T/M)
2.1×10^7	111.8×10^{-4}	25.5	9500

表 1. 數值解析結果

STEP		1	2	3	4	5	6	
굴착깊이(m)		3	5.5	8.5	10	11	12	
L O O S E	최대휨모멘트 (T-m)	(+)	0.000 (0.0)	11.170 (4.67)	36.084 (8.5)	[24.743(10.62)] 24.754(10.63)		
		(-)	11.720 (5.41)	6.811 (9.79)	13.696 (4.5)	[18.141(7.5)] 18.122(7.5)		
	최 대 처 짐 (cm)		1.05 (0)	0.9 (0)	153 (8)	[0.8(11.7)] 3.77(15)		
	STRUT REACTION (T)	1(1.5)		8.458	0.000	[0.961] 0.000		
S A N D		2(4.5)			29.421	[10.693] 12.622		
		3(7.5)				[36.593] 35.623		
		4(9.5)						
소 성		4.302	8.410	12.952	15.000			
M E D I U M	최대휨모멘트 (T-m)	(+)	0.000 (15.0)	8.103 (4.34)	26.673 (8.17)	35.371 (9.84)	[22.191(11.32)] 22.191(11.32)	
		(-)	8.535 (4.83)	5.528 (8.98)	8.665 (4.50)	11.933 (4.50)	[42.676(7.5)] 42.676(7.5)	
	최 대 처 짐 (cm)		0.63 (0.0)	0.55 (0.0)	0.94 (7.5)	1.22 (9.22)	[2.49(15.0)] 45.91(15.0)	
	STRUT REACTION (T)	1(1.5)		6.670	1.089	0.000 [0.000] 0.000		
S A N D		2(4.5)			22.845	21.085 [2.320] 2.320		
		3(7.5)				16.531 [49.485] 49.485		
		4(9.5)						
소 성 한 계 깊 이		3.831	7.440	11.851	13.662	15.000		
D E N S E	최대휨모멘트 (T-m)	(+)	0.000 (0.0)	3.497 (4.18)	19.368 (7.83)	26.306 (9.53)	36.738 (10.5) [15.553(12.0)] 11.553(12.0)	
		(-)	6.311 (4.68)	4.150 (8.39)	5.224 (4.50)	9.974 (4.50)	[18.166(9.5)] 24.444(7.5)	
	최 대 처 짐 (cm)		0.41 (0.0)	0.37 (0.0)	0.61 (7.34)	0.80 (9.06)	[0.92(15.0)] 2.90(15.0)	
	STRUT REACTION (T)	1(1.5)		5.110	1.583	0.000 0.000	[1.965] 0.000	
S A N D		2(4.5)			17.263	17.713	[5.115] 5.823	
		3(7.5)				13.713	[15.114] 21.206	
		4(9.5)					[33.894] 29.062	
소 성 한 계 깊 이		3.541	6.700	10.79	12.62	13.942	15.000	

result of diaphragm wall

위에서

- []:지중선행 범위는 고려하지 않은 경우
 ():최대단면력 및 최대 처짐의 발생깊이] 이다.

表 2 數值解析結果

STEP		1	2	3	4	5	6
굴착깊이(m)		3	5.5	8.5	10	11	12
LOOSE SAND	최대휨모멘트 (T-m)	(+)	0.486 (9.77)	10.316 (4.5)	33.767 (8.5)	24.754 10.63	
		(-)	11.282 (4.85)	9.636 (9.35)	13.696 (4.5)	18.122 (7.5)	
	최대처짐 (cm)		8.666 (0.000)	6.421 (3.237)	16.551 (8.657)	32.118 (15.00)	
	STRUT REACTION (T)	1(15) 2(4.5) 3(7.5) 4(9.5)		8.004 28.842	0.000 12.622		
소성한계깊이 (m)		5.14	9.501	14.298	15.000		
MEDIUM SAND	최대휨모멘트 (T-m)	(+)	0.335 (8.487)	7.109 (4.184)	20.245 (8.00)	24.249 (10.00)	22.191 (11.32)
		(-)	8.006 (4.444)	6.953 (8.35)	11.933 (4.5)	11.933 (4.5)	42.676 (7.50)
	최대처짐 (cm)		4.799 (0.000)	3.414 (3.079)	7.116 (7.83)	9.448 (9.69)	32.91 (15.0)
	STRUT REACTION (T)	1(1.5) 2(4.5) 3(7.5) 4(9.5)		6.315 23.041	0.000 15.878		
소성한계깊이 (m)		4.444	8.35	13.014	14.427	15.000	
DENSE SAND	최대휨모멘트 (T-m)	(+)	0.251 (8.13)	4.656 (4.03)	13.610 (7.67)	15.667 (9.53)	25.734 (10.67)
		(-)	5.777 (4.0)	4.949 (7.41)	9.974 (4.5)	9.869 (4.5)	15.724 (7.5)
	최대처짐 (cm)		2.920 (0.000)	1.948 (2.763)	3.666 (7.500)	4.683 (9.219)	7.663 (10.5)
	STRUT REACTION (T)	1(1.5) 2(4.5) 3(7.5) 4(9.5)		4.782 18.532	0.000 13.767	0.035 6.943	0.927 7.789
소성한계깊이 (m)		4.008	7.41	11.611	13.553	14.516	15.000

result of sheet pile

위에서

(): 최대단면력 및 최대처짐의 발생깊이] 이다.

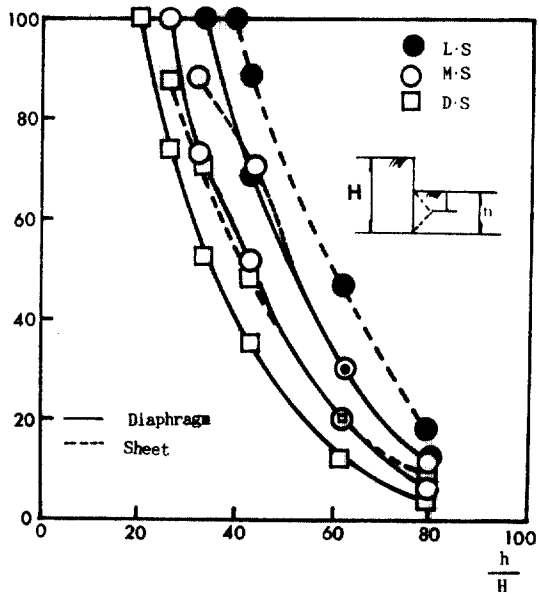


그림 7. Relationship between penetration depth ratio and Elastoplastic depth ratio

그림 7에 보여진 바와같이 堀착깊이가 깊어짐에 따라서 根入깊이에 대한 弹塑性限界깊이의 比率이 점점커짐을 볼 수 있는데 이는 根入 깊이가 깊을수록 根入부에서의 壁體의 變位가 微少하기 때문이다.

本研究에서는 각각의 土質條件에 對하여 弹性領域이 없어질때까지 堀착段階를 늘려 解析한 結果 각각의 土質條件에 따라 差異는 있지만 根入깊이가 깊은 경우는 既存의 土壓分布모델은 타당성이 없으며 根入깊이가 比較的 얕은 경우에 있어서는 既存의 塑性平衡狀態에서의 土壓分布 모델의 타당성이 있다는 것을 알수 있었다. 또한 그림 6에서 보여진 바와같이 모래의 密度가 클수록 弹性反力으로 因한 受動領域에서의 積의 抵抗이 증가하므로 壁體의 變位가 작아졌기 때문이며 Diaphragm wall보다 sheet pile에서 弹性領域의 土壓變化率이 훨씬더크고 (-)區域이 發生하는 경우도 있으며 弹塑性限界 깊이도 더큼을 볼수 있는데 이것은 壁體剛性이 적은데 따른 壁體變位의 증가에 인한것이며 弹性領域에서의 土壓分布가 急速히 變化하는 것은 sheet pile의 振 정도가 Diaphragm wall에 比해 매우 크기때문이라고 料된다.

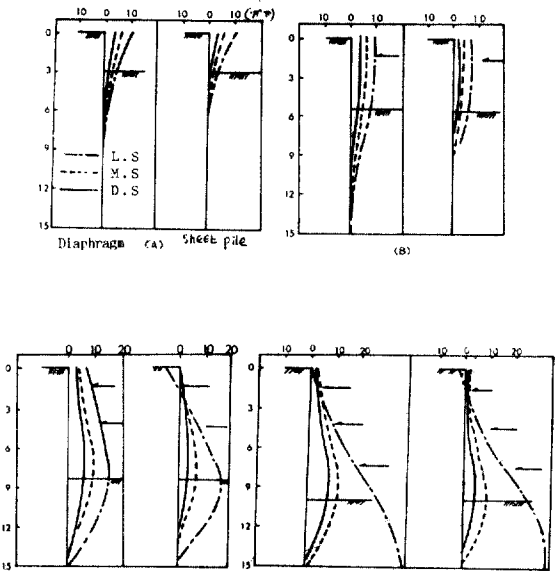


그림 8 Deflection of diaphragm wall(sheet pile)
(a) 1step (b) 2step (c) 3step (d) 4step

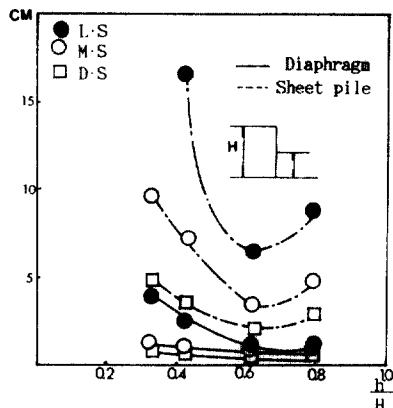


그림 9. Relation between penetration depth ratio and Max deflection

3.2 變位

그림 8은 Diaphragm wall과 sheet pile의 각각의 土質條件에 대한 치침曲線이며, 그림 9는 根入 깊이比 變化에 따른 最大치침의 變化圖이다. sheet pile에 따른 치침曲線의 Scale은 Diaphragm wall에 대한 것의 1/10으로 하였다. 그림에서 보여진 바와같이 堀착깊이의 증가에 따라 最大變位量은 증가하고 最大變位가 發生하는 깊이가 깊어진다. 그러

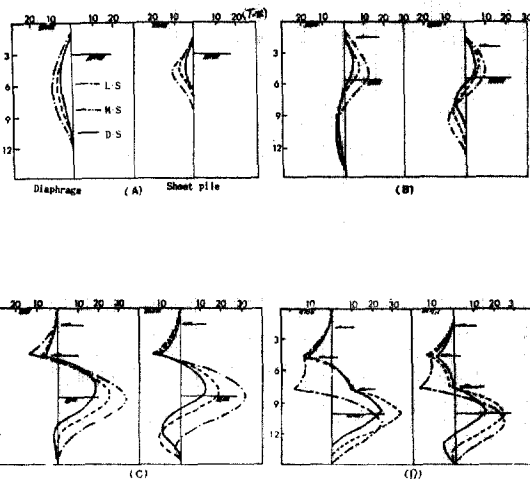
나 이것은 2번째 step에서는 맞지 않음을 볼 수 있는데 이는 두 번째 step에서 첫 번째 strut의 영향을 반영하고 있기 때문이다.

堀착깊이의 증가에 따른 最大變位量의 增加는 抵抗土壓의 減少때문이고 最大 처짐의 發生깊이가 깊어지는 것은 壁體의 變位에抵抗하는 힘이 抵抗土壓에서 strut反力으로 즉, 下部에서 上부로 移動에 因한 것이다. 또한 모래의 剛性이 증가할수록 壁體의 變位는 減少하고 最大變位의 發生깊이도 減少한다. 이는 모래의 密度增加에 따른 主動土壓감소 및 受動領域에서의 抵抗反力이 증가하기 때문이라고 思料되며 이것은 受動領域에서의 土壓分布의 變位에 상당한 영향을 미친다.

3.3 휨 모멘트

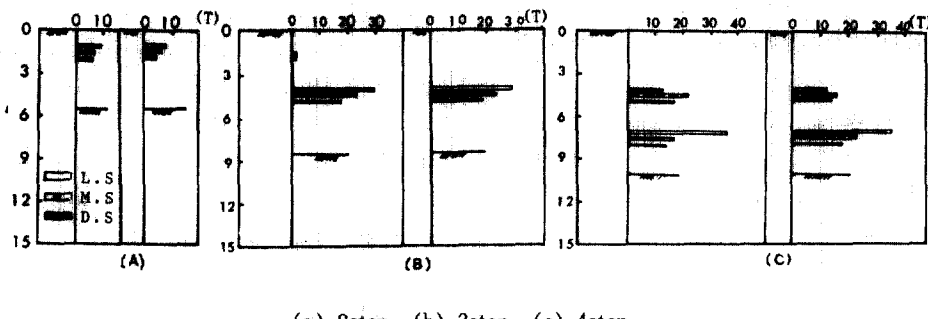
그림 10은 Diaphragm wall과 sheep pile의 휨 모멘트 分析圖이다. 그림에서 보여진 바와 같이 흙의 剛性이 클수록 휨모멘트의 最大값은 적으며, 壁體의 剛性의 영향은 1, 2step에서는 微少하지만 3, 4step에서는 Diaphragm wall이 훨씬 더 큰 모멘트 값을 나타내었고 4step의 Loose sand의 경우에는 거의一致하는 경향을 나타내었다. 이結果는 흙의 剛性이나 壁體剛性의 變化에 따른 受動領域에서의 土壓分布의 差異에 起因하는 것으로 보인다. Loose

sand의 경우 4step에서는 壁體剛性에 관계없이 弾性領域이 存在하지 않으므로 受動領域에서의 土壓分布는一致하고, 따라서 휨모멘트 分布圖는 完全히一致하는 경향을 볼 수 있었다.



(a) 1step (b) 2step (c) 3step (d) 4step

그림 10. Bending Moment diagram of diaphragm wall



(a) 2step (b) 3step (c) 4step

그림 11. Strut reaction of diaphragm wall and sheet pile

3.4 Strut 反力

그림 11은 모래의 剛性과 壁體剛性의 變化에 따른 strut 反力의 差異圖이다. 그림에서 보여진 바와 같이 2, 3step에서는 모래의 剛性이 클수록 strut 反力은 작고 壁體剛性의 영향은 微少하게 나타나고 있다. 그러나 4step의 2단 strut에서는 Medium sand의 strut反力이 가장 크고 壁體剛性의 영향도 比較

的 크게 나타나고 있다. 1단 strut 軸壓은 2step 이후 壁體剛性에 관계없이 거의 Zero의 값을 나타내고 있는데 이는 堀착깊이가 깊어짐에 따라 下端 strut를 中心으로 壁體가 回轉하기 때문이라고 思料된다.

4. 결 론

土留壁體의 標動에 對한 여러가지 parameter들의 영향에 대하여 研究한 結果 다음과 같이 結論을 얻었다.

1. 受動領域에서의 彈塑性 限界깊이비(d/n)는 壁體의 剛性, 모래의 密度, 根入깊이의 比(h/H)가 증가할수록 減少한다.

2. 土留壁의 最大휨모멘트값은 모래의 密度가 클수록 減少하고 壁體剛性의 영향은 根入깊이비(h/H)가 클때에 (3, 4step)는 크게 나타났다.

3. 彈塑性 限界깊이비(d/h)가 1이되면 壁體剛性은 휨모멘트에 영향을 미치지 않는다.

4. 最大 strut 反力은 모래의 密度에 反比例하고 根入깊이비(h/H)가 큰 경우에는 微少하다.

5. 地中先行變位를 고려하지 않고 壁體構造物을 設計하면 變位量의 過小 算定으로 構造物의 安定에 큰 영향을 미치게 될 것으로 반드시 고려해야 한다.

参考文獻

1. D'Appolonia, D. J., : Effect of Foundation Construction on Nearby Structures, *4th Pam-Am Conf. Soil Mech. Found. Eng.*, San Juan, Puerto Rico, State-of-Art Volume. 1971.
2. Sowers, G. F., : "Shallow Foundations", McGraw -Hill, New York. 1962.
3. Greg, C. Y. Wong, : Stability Analysis of Slurry Trenches, *M. ASCE*, Vol. , p1577~90. 1984
4. Peck, R. B., : Deep Excavation and Tunneling in Soft Ground, *Proc. 7th Int. Conf. Soil Mech. Found. Eng.*, Mexico City, State-of-the Art Volume
5. Hanna, T. H., : Studies on Anchored Flexible Retaining Walls in Sand, *J. Soil MEch. Found. Div.*, ASCE OCTOBER. 1974.
6. Verheyen, J., and Gillet, J., : Rigid Diaphragm Walls, Stability after Construction, *Proc. 7th Int. Conf. Soil Mech Eng.*, Spec. Sess. 14, 15, Mexico city. 1969.
7. Clough, W. and Taui, Y., : Performance of Tied -Back Walls in Clay, ASCE, DECEMBER. 1974.
8. Clough, W. and Duncan, J., : Finite Element Analysis of Retaining Wall Behavior, *J. Soil Mech. Found.* ASCE. DECEMBER. 1971.
9. 山倉邦男, 吉田洋次, 秋野知之, 堀削工事における 切ばり土留の機構 理論的考察, 土基礎, 第17券9號.
10. 中村兵次, 中尺章, 堀削工事における土留の壁應力 解析, 土質工學會論文報告集 Vol 12, No. 4, 1972.
11. James, E. L., and Jack, B. J., : Design Study of Diaphragm Walls, *Proc. Diaphragm Walls and Anchorages*, Inst. Civ. Eng., London 1974.
12. Kitaguchi, H. M.: Observed Performance of Diaphragm Walls at Joto Site, Osaka, Aoki Construction Co., Osaka, April 1976.
13. Thon, J. G., and Harlam, R. C., : Slurry Walls for BART Civil Center Subway Station *Soil Mech. Found. Div.*, ASCE September 1971.
14. Egger, P., : Influence of Wall Stiffness and Anchor prestressing on Earth pressure Distribution. *Proc. 5th Eur. Conf. Soil Mech. Found. Eng.*, Madrid, Vol. 1. 1972.
15. Peter, L. B and Smith, I., : Side Friction in Model Retaining-Wall Experiments, *J. Soil Mech. Found. Div.*, ASCE. July 1975.
16. Xanthakos, P. P.: *Slurry Walls*, McGRAW-HILL
17. 土質工學會, 土質工學 ハソトブシク, 昭和40, p430.

(接受:1990. 9. 21)